

# Procesamiento Digital de Imágenes

Pablo Roncagliolo B.  
Nº 12



## Operaciones Morfológicas

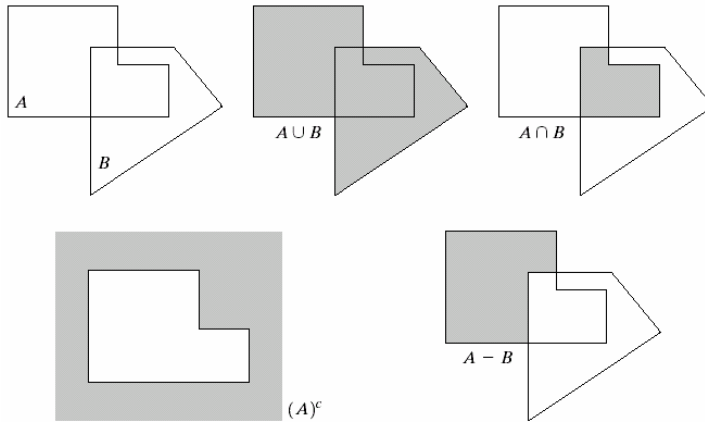
- Conceptos y algoritmos relevantes:
  - Operaciones lógicas
  - Dilatación
  - Erosión
  - Open (erosión+dilatación)
  - Close (dilatación+erosión)
  - Bordes utilizando op. Morfológicas
  - Fill Hole (Relleno de regiones)
  - Esqueleto de objetos
  - Etiquetado



# Operaciones Morfológicas



a b c  
d e



**FIGURE 9.1**  
(a) Two sets  $A$  and  $B$ . (b) The union of  $A$  and  $B$ . (c) The intersection of  $A$  and  $B$ . (d) The complement of  $A$ . (e) The difference between  $A$  and  $B$ .

prb@2007

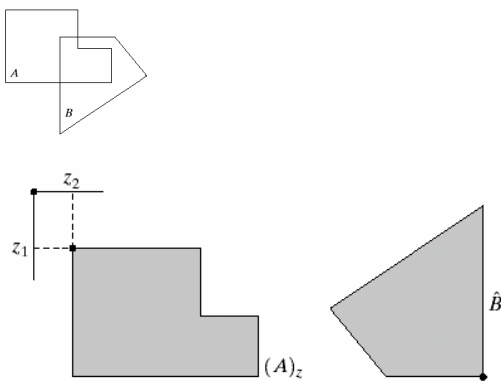
Imágenes: Gonzalez&Wood

3

# Operaciones Morfológicas



a b



**FIGURE 9.2**  
(a) Translation of  $A$  by  $z$ . (b) Reflection of  $B$ . The sets  $A$  and  $B$  are from Fig. 9.1.

prb@2007

Imágenes: Gonzalez&Wood

4

# Operaciones Morfológicas



**TABLE 9.1**  
The three basic logical operations.

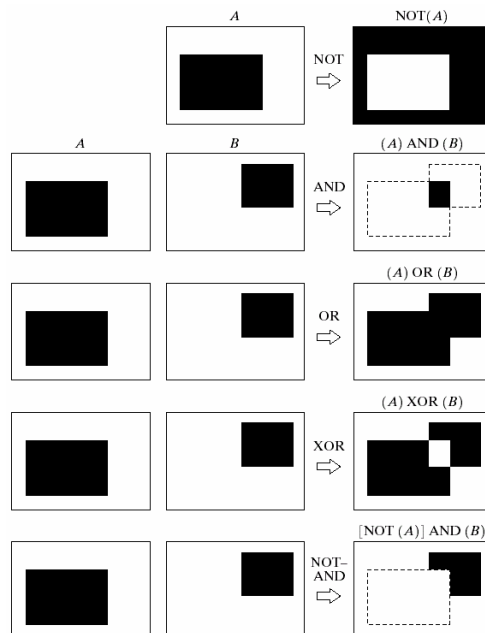
$p$	$q$	$p \text{ AND } q$ (also $p \cdot q$ )	$p \text{ OR } q$ (also $p + q$ )	$\text{NOT}(p)$ (also $\bar{p}$ )
0	0	0	0	1
0	1	0	1	1
1	0	0	1	0
1	1	1	1	0

prb@2007

Imágenes: Gonzalez&Wood

5

# Operaciones Morfológicas



**FIGURE 9.3** Some logic operations between binary images. Black represents binary 1s and white binary 0s in this example.

prb@2007

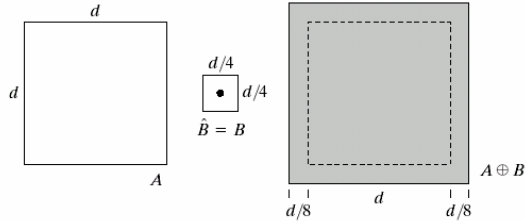
6

# Operaciones Morfológicas: Dilatación



a b c  
d e

**FIGURE 9.4**  
 (a) Set  $A$ .  
 (b) Square structuring element (dot is the center).  
 (c) Dilation of  $A$  by  $B$ , shown shaded.  
 (d) Elongated structuring element.  
 (e) Dilation of  $A$  using this element.

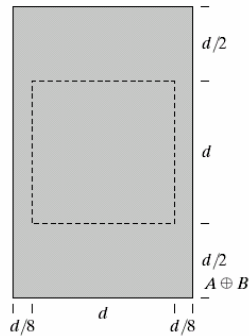
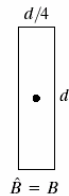


*"Deja el centro, si el AND de algún elemento de B es 1"*

$$A \oplus B \approx A(\text{and})B$$

```
% Dilatación
A2=imdilate(A,B)
```

*Es conmutativa y asociativa*



# Operaciones Morfológicas: Dilatación

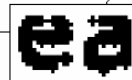
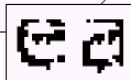


Historically, certain computer programs were written using only two digits rather than four to define the applicable year. Accordingly, the company's software may recognize a date using "00" as 1900 rather than the year 2000.

Historically, certain computer programs were written using only two digits rather than four to define the applicable year. Accordingly, the company's software may recognize a date using "00" as 1900 rather than the year 2000.

a b c

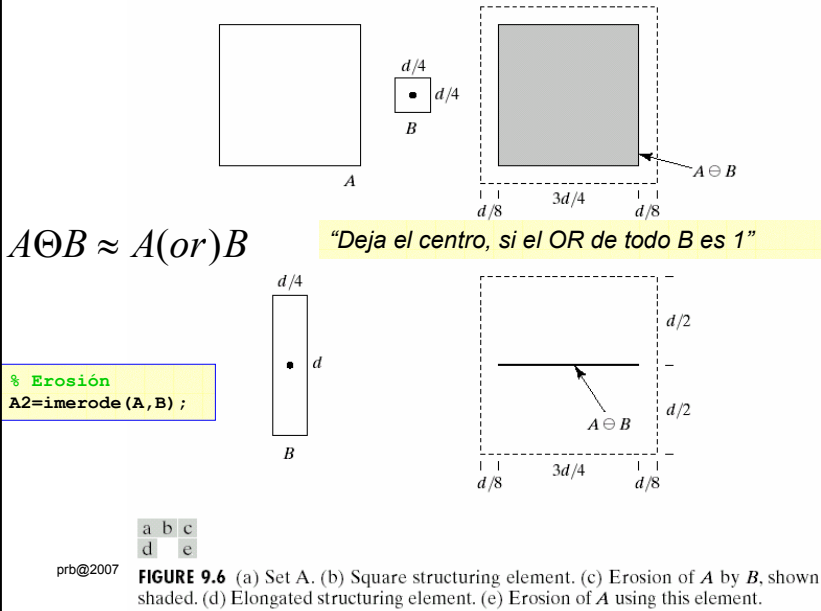
**FIGURE 9.5**  
 (a) Sample text of poor resolution with broken characters (magnified view).  
 (b) Structuring element.  
 (c) Dilation of (a) by (b). Broken segments were joined.



```
% Elementos Estructurantes
B=strel('diamond',1);
```

0	1	0
1	1	1
0	1	0

# Operaciones Morfológicas: Erosión



9

# Operaciones Morfológicas

## Erosión+Dilatación: Open



$$A \circ B$$



a b c

**FIGURE 9.7** (a) Image of squares of size 1, 3, 5, 7, 9, and 15 pixels on the side. (b) Erosion of (a) with a square structuring element of 1's, 13 pixels on the side. (c) Dilatation of (b) with the same structuring element.

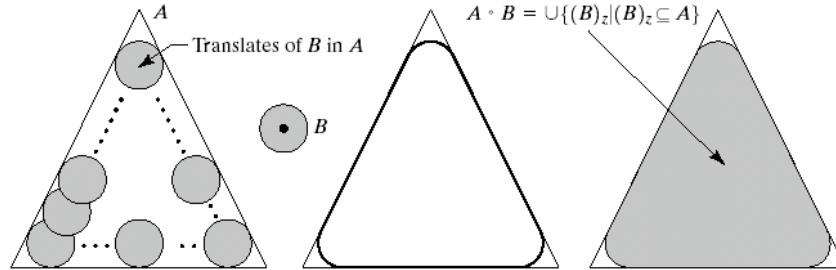
```
% Open
A2=imopen(A,B);
```

prb@2007

Imágenes: Gonzalez&Wood

10

## Operaciones Morfológicas: Open



a b c d

**FIGURE 9.8** (a) Structuring element  $B$  “rolling” along the inner boundary of  $A$  (the dot indicates the origin of  $B$ ). (c) The heavy line is the outer boundary of the opening. (d) Complete opening (shaded).

prb@2007

Imágenes: Gonzalez&Wood

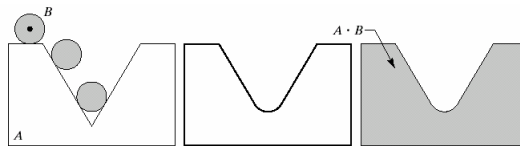
11

## Operaciones Morfológicas:

Dilatación+Erosión: Close



$A \bullet B$



a b c

**FIGURE 9.9** (a) Structuring element  $B$  “rolling” on the outer boundary of set  $A$ . (b) Heavy line is the outer boundary of the closing. (c) Complete closing (shaded).

```
% Close
A2=imclose(A,B);
```

prb@2007

Imágenes: Gonzalez&Wood

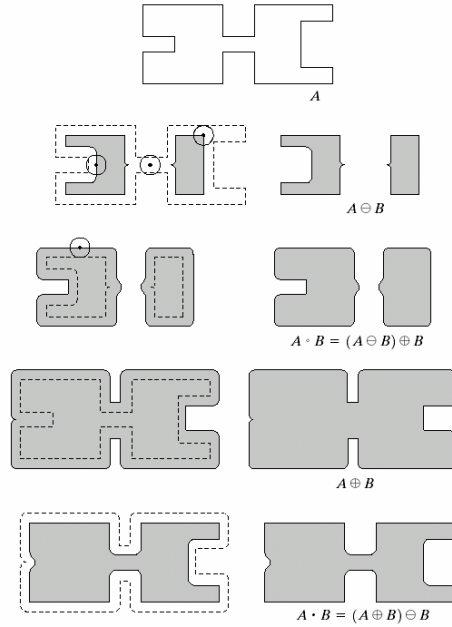
12

# Operaciones Morfológicas



a  
b c  
d e  
f g  
h i

**FIGURE 9.10**  
Morphological opening and closing. The structuring element is the small circle shown in various positions in (b). The dark dot is the center of the structuring element.



prb@2007

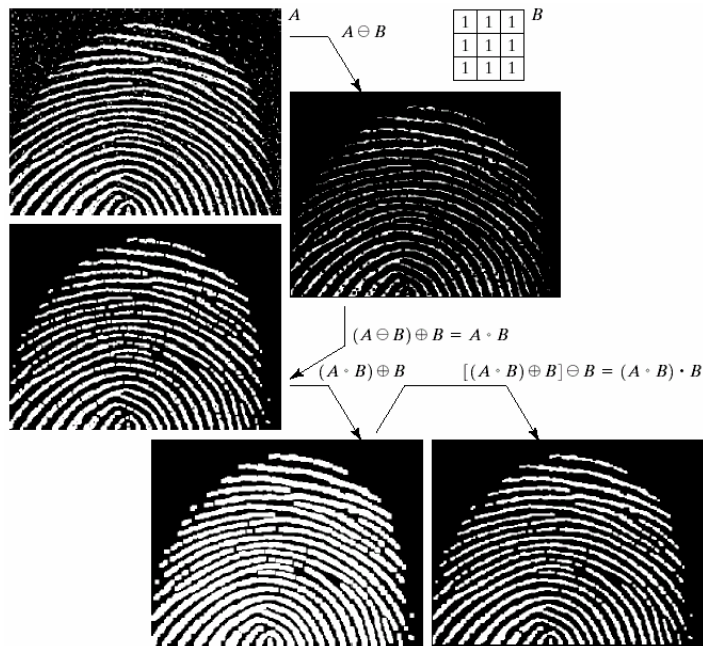
13

# Operaciones Morfológicas

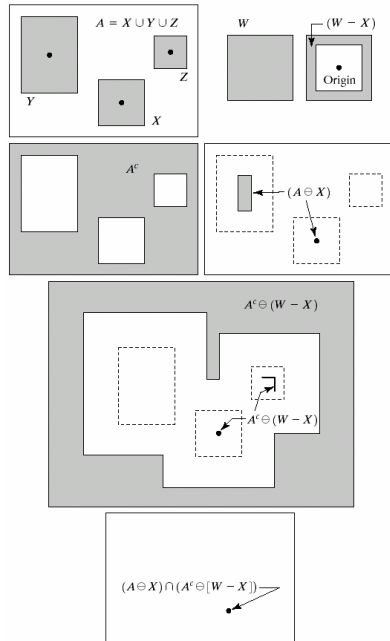


a b  
c  
d e f

**FIGURE 9.11**  
(a) Noisy image. (c) Eroded image. (d) Opening of A. (e) Dilation of the opening. (e) Closing of the opening. (Original image for this example courtesy of the National Institute of Standards and Technology.)



# Operaciones Morfológicas



a b  
c d  
e  
f

**FIGURE 9.12** (a) Set  $A$ . (b)  $A$  window,  $W$ , and the local background of  $X$  with respect to  $W$ ,  $(W - X)$ . (c) Complement of  $A$ . (d) Erosion of  $A$  by  $X$ . (e) Erosion of  $A^c$  by  $(W - X)$ . (f) Intersection of (d) and (e), showing the location of the origin of  $X$ , as desired.

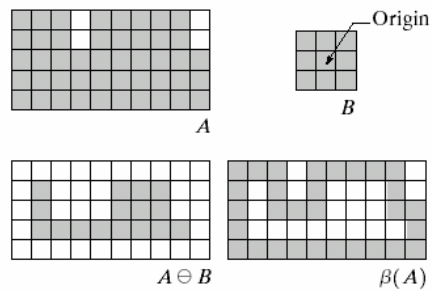
prb@2007

15

# Operaciones Morfológicas: Bordes mediante erosión:

a b  
c d

**FIGURE 9.13** (a) Set  $A$ . (b) Structuring element  $B$ . (c)  $A$  eroded by  $B$ . (d) Boundary, given by the set difference between  $A$  and its erosion.



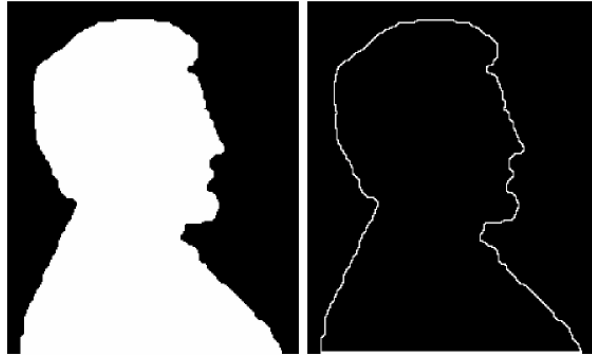
prb@2007

Imágenes: Gonzalez&Wood

16



# Operaciones Morfológicas



a b

**FIGURE 9.14**  
 (a) A simple binary image, with 1's represented in white. (b) Result of using Eq. (9.5-1) with the structuring element in Fig. 9.13(b).

prb@2007

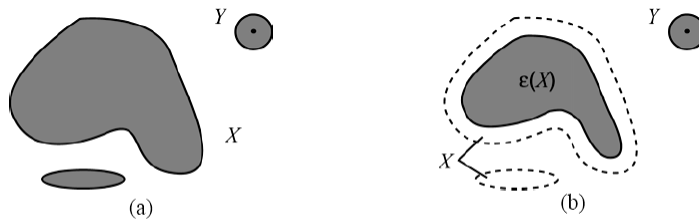
Imágenes: Gonzalez&Wood

17

# Operaciones Morfológicas



**Ej. Erosión:**



Erosión de  $X$  por el elemento estructurante  $Y$ . Los elementos conectados del conjunto  $X$  más pequeños que  $Y$  son eliminados.

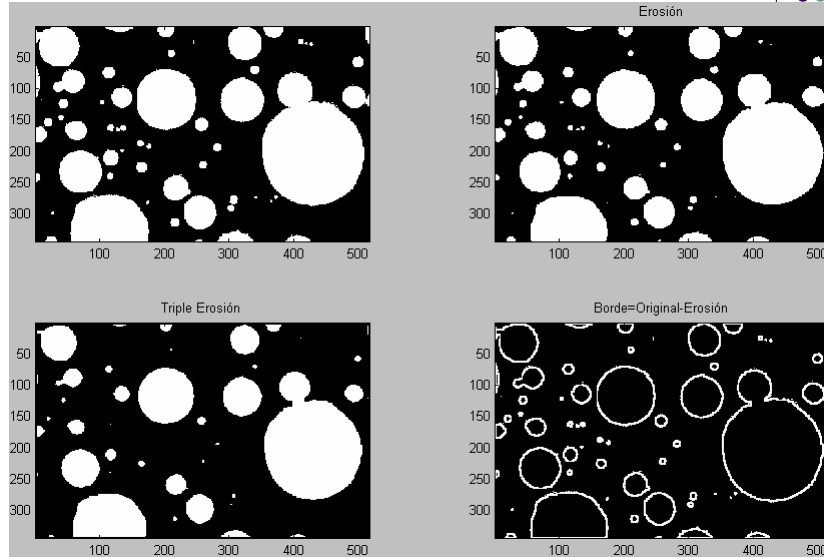
**El elemento estructurante debe estar contenido completamente.**

prb@2007

Imágenes: Gonzalez&Wood

18

## Ej. Erosión



prb@2007

Imágenes: Gonzalez&Wood

19

## Ej. Erosión

```
function B=erosion(A)
[H W Z]=size(A);
B=zeros(H,W);
K=[1 1 1;
  1 1 1;
  1 1 1];

for f=(1+1):(H-1)
  for c=(1+1):(W-1)
    suma=0;
    for ff=-1:1
      for cc=-1:1
        suma=suma+K(ff+2,cc+2)*A(f+ff,c+cc)/255;
      end;
    end;
    if suma==sum(sum(K))
      B(f,c)=255;
    else
      B(f,c)=0;
    end;
  end;
end;
```

prb@2007

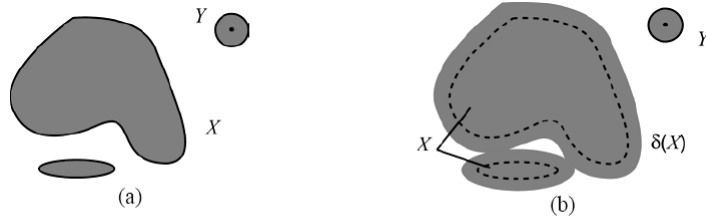
Imágenes: Gonzalez&Wood

20

# Operaciones Morfológicas



## Dilatación:



Dilatación de  $X$  por el elemento estructurante  $Y$ . El conjunto  $X$  aumenta su definición.

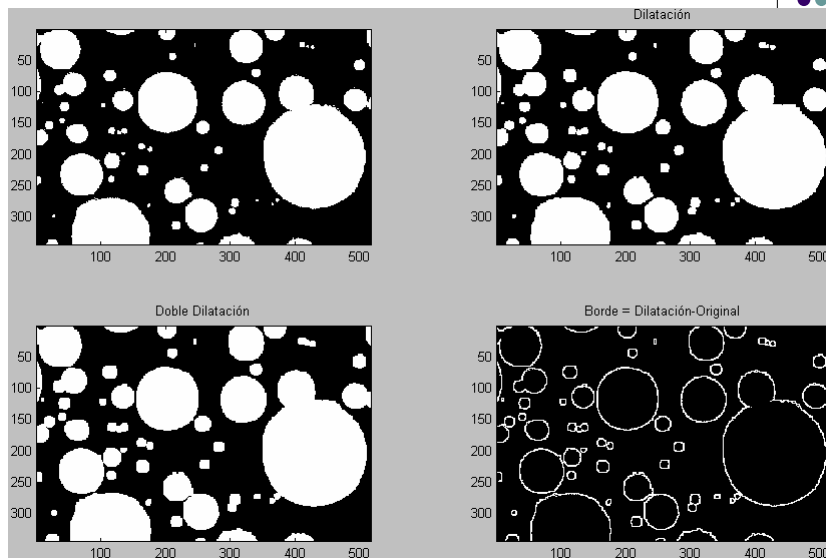
El centro del elemento estructurante  $Y$  debe estar contenido en la imagen  $X$ .

prb@2007

Imágenes: Gonzalez&Wood

21

## Ej. Dilatación



prb@2007

Imágenes: Gonzalez&Wood

22

## Ej. Dilatación



```
function B=dilatacion(A)
[H W Z]=size(A);
B=zeros(H,W);
K=[1 1 1;
  1 1 1;
  1 1 1];

for f=(1+1):(H-1)
  for c=(1+1):(W-1)
    suma=0;
    for ff=-1:1
      for cc=-1:1
        suma=suma+K(ff+2,cc+2)*A(f+ff,c+cc)/255;
      end;
    end;
    if suma>=1
      B(f,c)=255;
    else
      B(f,c)=0;
    end;
  end;
end;
end;
```

prb@2007

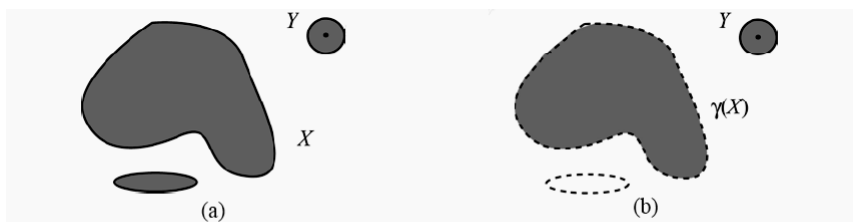
Imágenes: Gonzalez&Wood

23

## Operaciones Morfológicas



### Ej. Apertura Morfológica: erosión+dilatación



Apertura morfológica del conjunto  $X$  por el elemento estructurante  $Y$ . Eliminación de objetos menores en tamaño al elemento estructurante. La apertura redondea las convexidades importantes.

La apertura permite “recuperar” los elementos “mayores”, redondeando sus contornos.

prb@2007

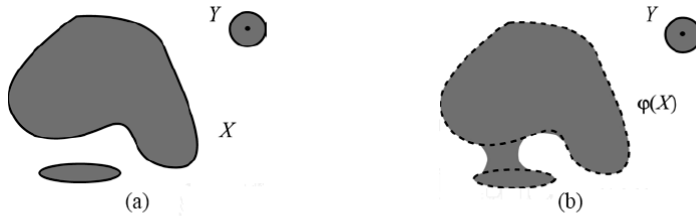
Imágenes: Gonzalez&Wood

24

# Operaciones Morfológicas



## Ej. Cierre Morfológico: dilatación+erosión



Apertura morfológica del conjunto  $X$  por el elemento estructurante  $Y$ . El cierre redondea las concavidades importantes.

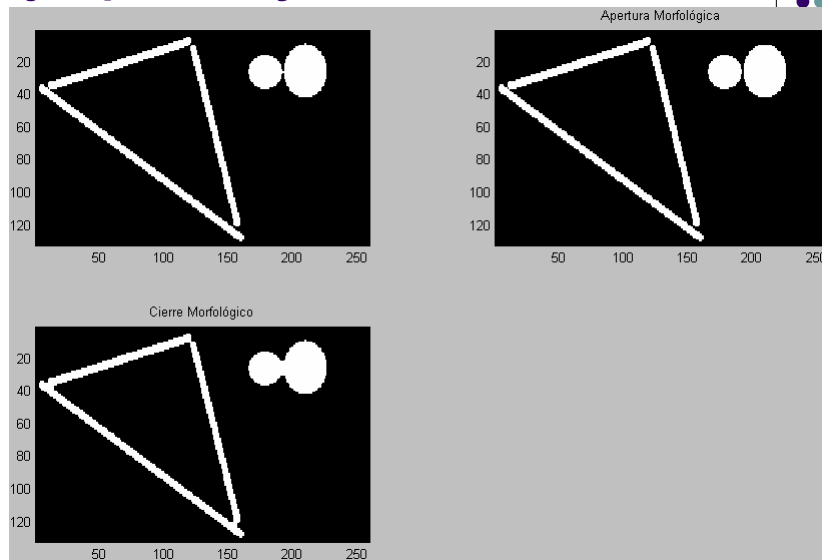
Permite "unir" elementos cercanos.

prb@2007

Imágenes: Gonzalez&Wood

25

## Ej. Apertura y Cierre



prb@2007

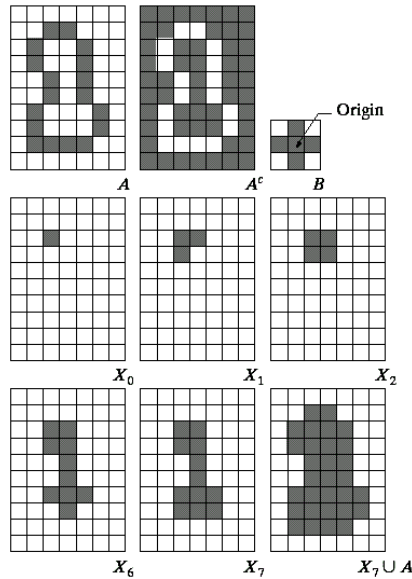
Imágenes: Gonzalez&Wood

26

## Operaciones Morfológicas: "Fill Hole"

a b c  
d e f  
g h i

**FIGURE 9.15**  
Region filling.  
(a) Set  $A$ .  
(b) Complement of  $A$ .  
(c) Structuring element  $B$ .  
(d) Initial point inside the boundary.  
(e)–(h) Various steps of Eq. (9.5-2).  
(i) Final result [union of (a) and (h)].



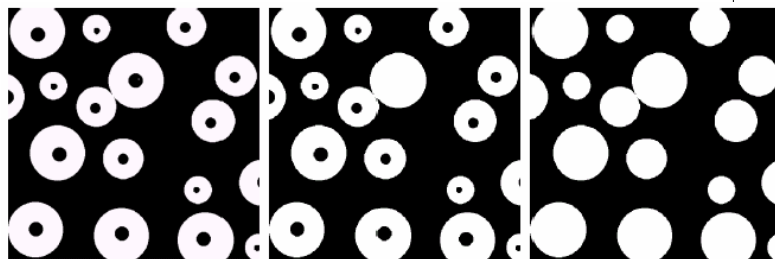
$$X^k = (X^{k-1} \oplus B) \cup X^0; X^0 = b$$

prb@2007

Imágenes: Gonzalez&Wood

27

## Operaciones Morfológicas



a b c

**FIGURE 9.16** (a) Binary image (the white dot inside one of the regions is the starting point for the region-filling algorithm). (b) Result of filling that region (c) Result of filling all regions.

prb@2007

Imágenes: Gonzalez&Wood

28

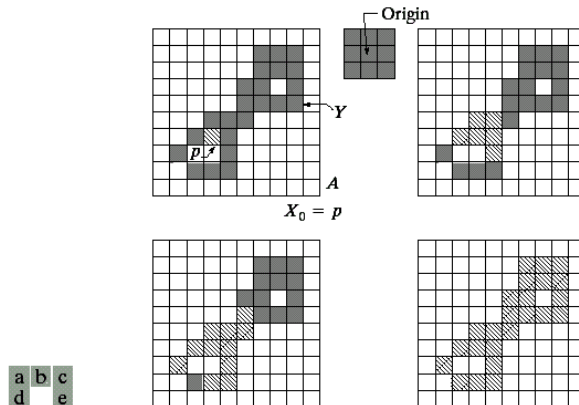
## Operaciones Morfológicas: Componentes conectados



Connected components

$$X_k = (X_{k-1} \oplus B) \cap A; X_0 = p \text{ and } k = 1, 2, 3, \dots$$

Finds a connected component  $Y$  in  $A$ , given a point  $p$  in  $Y$ . (I)



**FIGURE 9.17** (a) Set  $A$  showing initial point  $p$  (all shaded points are valued 1, but are shown different from  $p$  to indicate that they have not yet been found by the algorithm). (b) Structuring element. (c) Result of first iterative step. (d) Result of second step. (e) Final result.

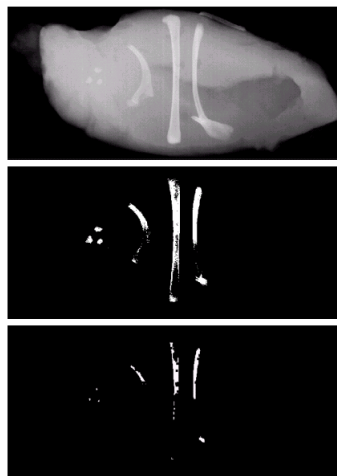
29

## Operaciones Morfológicas



a  
b  
c d

**FIGURE 9.18** (a) X-ray image of chicken filet with bone fragments. (b) Thresholded image. (c) Image eroded with a  $5 \times 5$  structuring element of 1's. (d) Number of pixels in the connected components of (c). (Image courtesy of NTB Elektronische Gerate GmbH, Diepholz, Germany, [www.ntbxray.com](http://www.ntbxray.com).)



Connected component	No. of pixels in connected comp
01	11
02	9
03	9
04	39
05	133
06	1
07	1
08	743
09	7
10	11
11	11
12	9
13	9
14	674
15	85

prb@2007

imagenes. GUTZELZOVVVVV

30

# Operaciones Morfológicas



## Transformación Hit-or-Miss:

Hit-or-miss transform

$$A \odot B = (A \ominus B_1) \cap (A^c \ominus B_2)$$

$$= (A \ominus B_1) - (A \oplus \hat{B}_2)$$

The set of points (coordinates) at which, simultaneously,  $B_1$  found a match ("hit") in  $A$  and  $B_2$  found a match in  $A^c$ .

Search for:



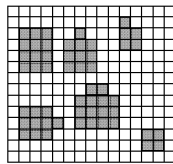
$B_1$



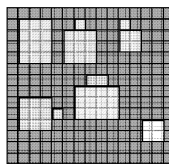
$B_2$



$X$



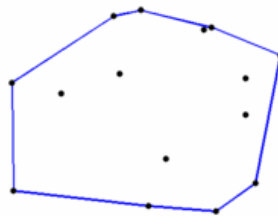
$X^c$



# Operaciones Morfológicas



**“Envoltura convexa” (convex hull):** Conjunto de píxeles (polígono) convexos que contienen a un objeto binarizado.



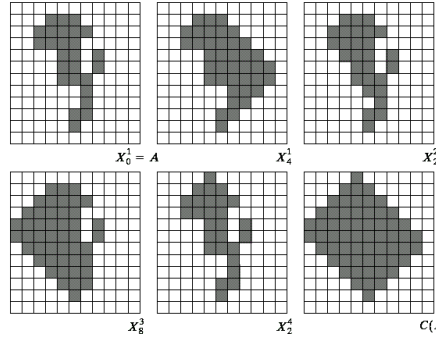
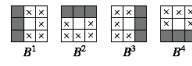


# Operaciones Morfológicas

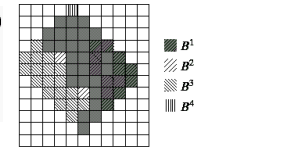
## Ejemplo: "Envoltura convexa"



**FIGURE 9.19**  
 (a) Structuring elements. (b) Set A. (c)–(f) Results of convergence with the structuring elements shown in (a). (g) Convex hull. (h) Convex hull showing the contribution of each structuring element.

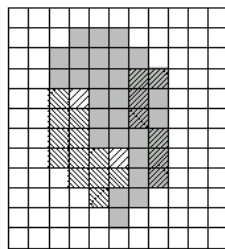


Convex hull  $X_k^i = (X_{k-1}^i \otimes B^i) \cup A; i = 1, 2, 3, 4; k = 1, 2, 3, \dots; X_0^i = A; \text{ and } D^i = X_{conv}^i$ . Finds the convex hull  $C(A)$  of set A, where "conv" indicates convergence in the sense that  $X_k^i = X_{k-1}^i$ . (III)



# Operaciones Morfológicas

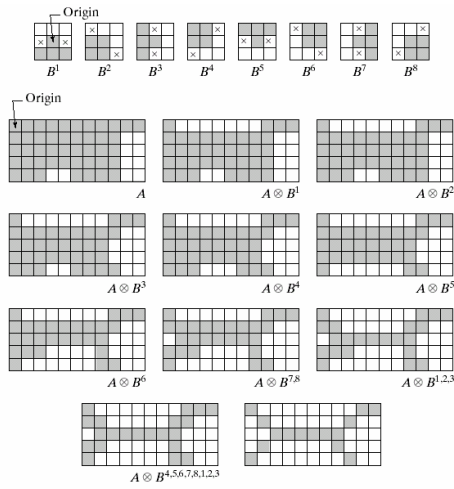
## Resultado final, limitando a las dimensiones máximas del objeto inicial.



**FIGURE 9.20** Result of limiting growth of convex hull algorithm to the maximum dimensions of the original set of points along the vertical and horizontal directions.



# Operaciones Morfológicas



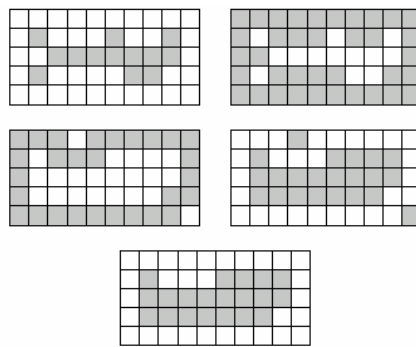
**FIGURE 9.21** (a) Sequence of rotated structuring elements used for thinning. (b) Set  $A$ . (c) Result of thinning with the first element. (d)–(i) Results of thinning with the next seven elements (there was no change between the seventh and eighth elements). (j) Result of using the first element again (there were no changes for the next two elements). (k) Result after convergence. (l) Conversion to  $m$ -connectivity.

prb@2007

Imágenes: Gonzalez&Wood

35

# Operaciones Morfológicas



a	b
c	d
e	

**FIGURE 9.22** (a) Set  $A$ . (b) Complement of  $A$ . (c) Result of thinning the complement of  $A$ . (d) Thickened set obtained by complementing (c). (e) Final result, with no disconnected points.

prb@2007

Imágenes: Gonzalez&Wood

36

## Operaciones Morfológicas: Esqueleto



Un esqueleto intenta representar la forma de un objeto con un número relativamente pequeño de píxeles. De esta forma, todos los píxeles del esqueleto son estructuralmente necesarios.

La posición, orientación y longitud de las líneas del esqueleto se corresponden con aquellas equivalentes de la imagen original. La tarea de sacar características de una imagen queda simplificada al obtener su esqueleto.

prb@2007

Imágenes: Gonzalez&Wood

37

## Operaciones Morfológicas: Esqueleto



### **Transformación de eje central** (MAT, Medial Axis Transform)

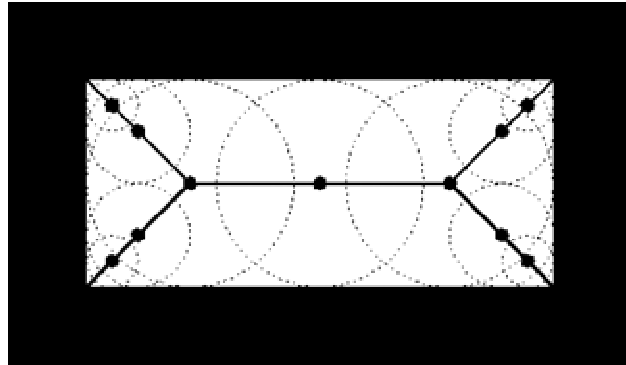
Se denomina eje central (medial axis) al esqueleto. La forma de obtener el eje central es calcular, para cada píxel, la distancia más corta hasta el borde del objeto. Si el píxel tiene más de una distancia mínima es que forma parte del eje central.

prb@2007

Imágenes: Gonzalez&Wood

38

## Operaciones Morfológicas: Esqueleto

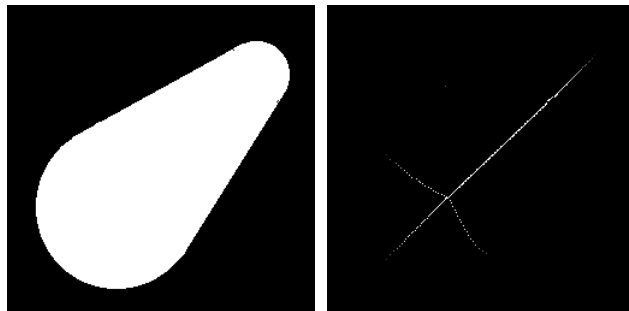


prb@2007

Imágenes: Gonzalez&Wood

39

## Operaciones Morfológicas: Esqueleto



prb@2007

Imágenes: Gonzalez&Wood

40

## Operaciones Morfológicas: Esqueleto



Algoritmo Básico

```

A1=erosion(A);
Borde=A-A1;
for f=1:H
    for c=1:W
        if A(f,c)>0
            n=0;
            min=H*W;
            for ff=1:H
                for cc=1:W
                    if Borde(ff,cc)>0
                        d=(f-ff)^2 + (c-cc)^2;
                        if d==min, n=n+1; end;
                        if d<min, min=d; n=1; end;
                    end;
                end;
            end;
            if n>1, B(f,c)=255; end;
        end;
    end;
end;
    
```

If  $\text{abs}(d-\text{min}) < \text{delta} \dots$

$\text{delta}$  puede ser 1, 2 o más, lo que permite mayor flexibilidad en la búsqueda del eje central, sobre todo para objetos con anchos o altos "pares"

prb@2007

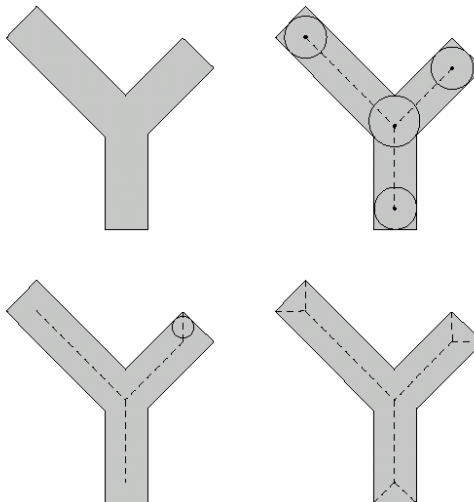
41

## Operaciones Morfológicas



a b  
c d

**FIGURE 9.23**  
 (a) Set  $A$ .  
 (b) Various positions of maximum disks with centers on the skeleton of  $A$ .  
 (c) Another maximum disk on a different segment of the skeleton of  $A$ .  
 (d) Complete skeleton.

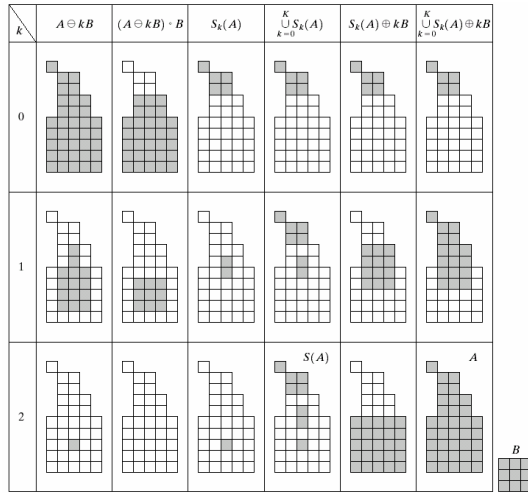


prb@2007

Imágenes: Gonzalez&Wood

42

# Operaciones Morfológicas



prb@2007

**FIGURE 9.24** Implementation of Eqs. (9.5-11) through (9.5-15). The original set is at the top left, and its morphological skeleton is at the bottom of the fourth column. The reconstructed set is at the bottom of the sixth column.

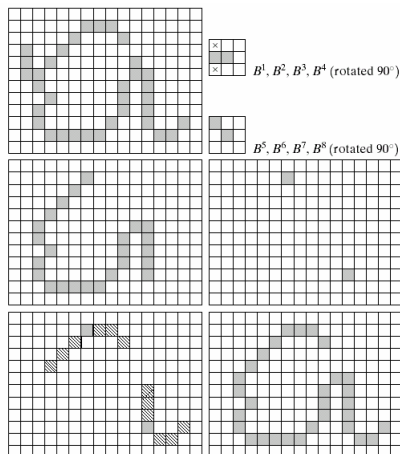
43

# Operaciones Morfológicas



a b  
c  
d e  
f g

**FIGURE 9.25**  
(a) Original image. (b) and (c) Structuring elements used for deleting end points. (d) Result of three cycles of thinning. (e) End points of (d). (f) Dilatation of end points conditioned on (a). (g) Pruned image.



prb@2007

Imágenes: Gonzalez&Wood

44

# Operaciones Morfológicas



**TABLE 9.2**  
Summary of morphological operations and their properties.

Operation	Equation	Comments (The Roman numerals refer to the structuring elements shown in Fig. 9.26).
Translation	$(A)_z = \{w   w = a + z, \text{ for } a \in A\}$	Translates the origin of $A$ to point $z$ .
Reflection	$\hat{B} = \{w   w = -b, \text{ for } b \in B\}$	Reflects all elements of $B$ about the origin of this set.
Complement	$A^c = \{w   w \notin A\}$	Set of points not in $A$ .
Difference	$A - B = \{w   w \in A, w \notin B\}$ $= A \cap B^c$	Set of points that belong to $A$ but not to $B$ .
Dilation	$A \oplus B = \{z   (\hat{B})_z \cap A \neq \emptyset\}$	"Expands" the boundary of $A$ . (I)
Erosion	$A \ominus B = \{z   (B)_z \subseteq A\}$	"Contracts" the boundary of $A$ . (I)
Opening	$A \circ B = (A \ominus B) \oplus B$	Smooths contours, breaks narrow isthmuses, and eliminates small islands and sharp peaks. (I)
Closing	$A \bullet B = (A \oplus B) \ominus B$	Smooths contours, fuses narrow breaks and long thin gulfs, and eliminates small holes. (I)

prb@2007

Imágenes: Gonzalez&Wood

45

# Operaciones Morfológicas



Hit-or-miss transform	$A \otimes B = (A \ominus B_1) \cap (A^c \ominus B_2)$ $= (A \ominus B_1) - (A \oplus \hat{B}_2)$	The set of points (coordinates) at which, simultaneously, $B_1$ found a match ("hit") in $A$ and $B_2$ found a match in $A^c$ .
Boundary extraction	$\beta(A) = A - (A \ominus B)$	Set of points on the boundary of set $A$ . (I)
Region filling	$X_k = (X_{k-1} \oplus B) \cap A; X_0 = p$ and $k = 1, 2, 3, \dots$	Fills a region in $A$ , given a point $p$ in the region. (II)
Connected components	$X_k = (X_{k-1} \oplus B) \cap A; X_0 = p$ and $k = 1, 2, 3, \dots$	Finds a connected component $Y$ in $A$ , given a point $p$ in $Y$ . (I)
Convex hull	$X_k^i = (X_{k-1}^i \oplus B^i) \cup A; i = 1, 2, 3, 4;$ $k = 1, 2, 3, \dots; X_0^i = A;$ and $D^i = X_{conv}^i$	Finds the convex hull $C(A)$ of set $A$ , where "conv" indicates convergence in the sense that $X_k^i = X_{k-1}^i$ . (III)

**TABLE 9.2**  
Summary of morphological results and their properties.  
(continued)

prb@2007

Imágenes: Gonzalez&Wood

46

# Operaciones Morfológicas



Operation	Equation	Comments (The Roman numerals refer to the structuring elements shown in Fig. 9.26).
Thinning	$A \otimes B = A - (A \odot B)$ $= A \cap (A \odot B)^c$	Thins set $A$ . The first two equations give the basic definition of thinning. The last two equations denote thinning by a sequence of structuring elements. This method is normally used in practice. (IV)
	$A \otimes \{B\} =$ $((\dots((A \otimes B^1) \otimes B^2) \dots) \otimes B^n)$ $\{B\} = \{B^1, B^2, B^3, \dots, B^n\}$	
	Thickening	
Thickening	$A \odot B = A \cup (A \otimes B)$	Thickens set $A$ . (See preceding comments on sequences of structuring elements.) Uses IV with 0's and 1's reversed.
	$A \odot \{B\} =$ $((\dots(A \odot B^1) \odot B^2 \dots) \odot B^n)$ ..	

**TABLE 9.2**  
Summary of morphological results and their properties. (continued)

# Operaciones Morfológicas

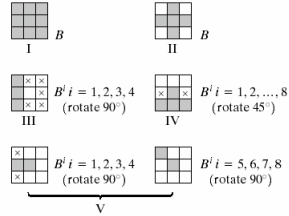


Skeletons	$S(A) = \bigcup_{k=0}^K S_k(A)$	Finds the skeleton $S(A)$ of set $A$ . The last equation indicates that $A$ can be reconstructed from its skeleton subsets $S_k(A)$ . In all three equations, $K$ is the value of the iterative step after which the set $A$ erodes to the empty set. The notation $(A \ominus kB)$ denotes the $k$ th iteration of successive erosion of $A$ by $B$ . (I)
	$S_k(A) = \bigcup_{k=0}^K \{(A \ominus kB) - [(A \ominus kB) \circ B]\}$	
	Reconstruction of $A$ : $A = \bigcup_{k=0}^K (S_k(A) \oplus kB)$	
Pruning	$X_1 = A \otimes \{B\}$	$X_1$ is the result of pruning set $A$ . The number of times that the first equation is applied to obtain $X_1$ must be specified. Structuring elements $V$ are used for the first two equations. In the third equation $H$ denotes structuring element $I$ .
	$X_2 = \bigcup_{k=1}^8 (X_1 \otimes B^k)$	
	$X_3 = (X_2 \oplus H) \cap A$	
	$X_4 = X_1 \cup X_3$	

**TABLE 9.2**  
Summary of morphological results and their properties. (continued)

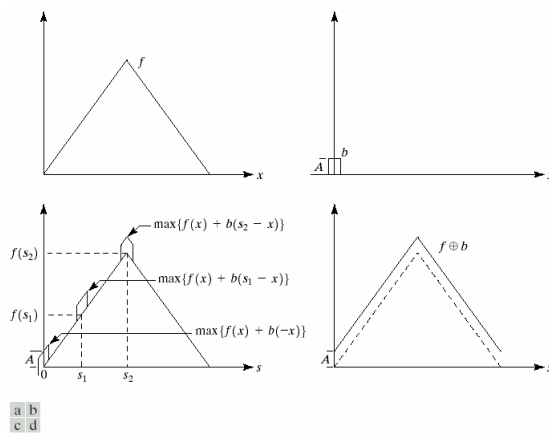


# Operaciones Morfológicas



**FIGURE 9.26** Five basic types of structuring elements used for binary morphology. The origin of each element is at its center and the x's indicate "don't care" values.

# Operaciones Morfológicas

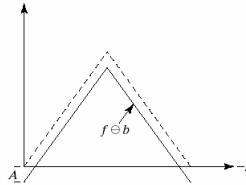


**FIGURE 9.27** (a) A simple function. (b) Structuring element of height  $A$ . (c) Result of dilation for various positions of sliding  $b$  past  $f$ . (d) Complete result of dilation (shown solid).

# Operaciones Morfológicas



**FIGURE 9.28**  
Erosion of the function shown in Fig. 9.27(a) by the structuring element shown in Fig. 9.27(b).

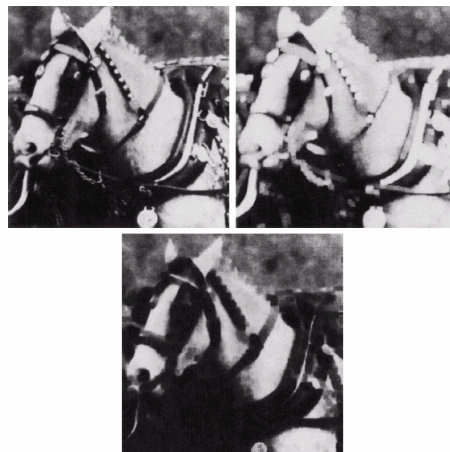


prb@2007

Imágenes: Gonzalez&Wood

51

# Operaciones Morfológicas



a b  
c

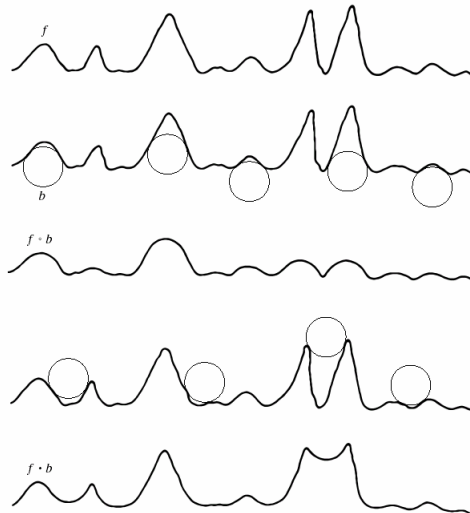
**FIGURE 9.29**  
(a) Original image. (b) Result of dilation. (c) Result of erosion. (Courtesy of Mr. A. Morris, Leica Cambridge, Ltd.)

prb@2007

Imágenes: Gonzalez&Wood

52

# Operaciones Morfológicas



a  
b  
c  
d  
e

**FIGURE 9.30**  
(a) A gray-scale scan line.  
(b) Positions of rolling ball for opening.  
(c) Result of opening.  
(d) Positions of rolling ball for closing.  
(e) Result of closing.

prb@2007

53

# Operaciones Morfológicas



a b

**FIGURE 9.31** (a) Opening and (b) closing of Fig. 9.29(a). (Courtesy of Mr. A. Morris, Leica Cambridge, Ltd.)

prb@2007

Imágenes: Gonzalez&Wood

54

## Operaciones Morfológicas



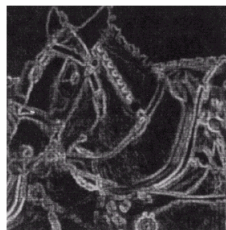
**FIGURE 9.32** Morphological smoothing of the image in Fig. 9.29(a). (Courtesy of Mr. A. Morris, Leica Cambridge, Ltd.)

prb@2007

Imágenes: Gonzalez&Wood

55

## Operaciones Morfológicas



**FIGURE 9.33** Morphological gradient of the image in Fig. 9.29(a). (Courtesy of Mr. A. Morris, Leica Cambridge, Ltd.)

prb@2007

Imágenes: Gonzalez&Wood

56

## Operaciones Morfológicas



**FIGURE 9.34** Result of performing a top-hat transformation on the image of Fig. 9.29(a). (Courtesy of Mr. A. Morris, Leica Cambridge, Ltd.)

prb@2007

Imágenes: Gonzalez&Wood

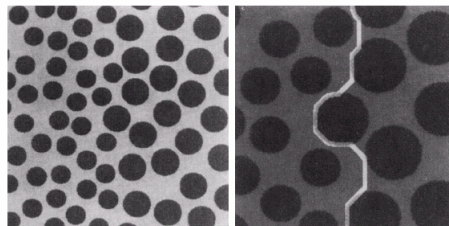
57

## Operaciones Morfológicas



a b

**FIGURE 9.35**  
(a) Original image. (b) Image showing boundary between regions of different texture. (Courtesy of Mr. A. Morris, Leica Cambridge, Ltd.)

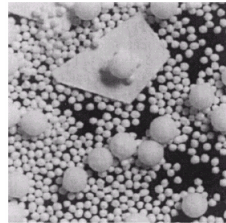


prb@2007

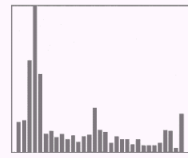
Imágenes: Gonzalez&Wood

58

## Operaciones Morfológicas



Size Dist'n



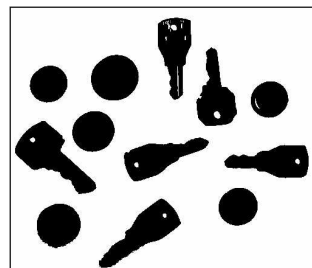
a b

**FIGURE 9.36**  
(a) Original image consisting of overlapping particles; (b) size distribution.  
(Courtesy of Mr. A. Morris, Leica Cambridge, Ltd.)

## Extracción de Regiones y Etiquetado



Generalmente la extracción de regiones y su etiquetado se realizan sobre imágenes previamente binarizadas

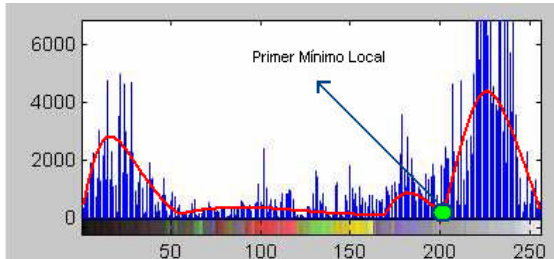


Selección de umbrales óptimos en el histograma

## Extracción de Regiones y Etiquetado



### Binarización según histograma



Es posible automatizar la detección del umbral de binarización, “filtrando” el histograma (p. ej. promedio móvil), y detectando el primer mínimo local desde el promedio del fondo de la imagen.

```
[nf nc]=size(A);  
HISTOGRAMA=zeros(1,256);  
for f=1:nf  
    for c=1:nc  
        HISTOGRAMA(A(f,c)+1)= HISTOGRAMA(A(f,c)+1)+1;  
    end;  
end;
```

prb@2007

Imágenes: Gonzalez&Wood

61

## Extracción de Regiones y Etiquetado

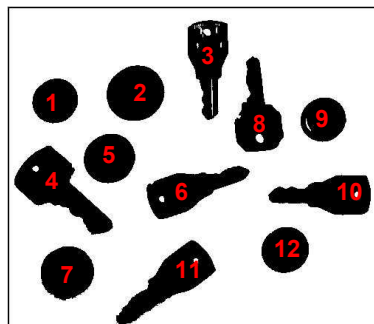


### Etiquetado

Después de binarizar se puede ejecutar alguno de los algoritmos de etiquetado.

Un Algoritmo muy utilizado es el siguiente:

- Marcar todos los píxel distintos del fondo con etiquetas diferentes (números)
- Iterando desde la esquina superior izq., asignar a cada píxel la menor etiqueta presente en la vecindad (tipo 6)
- Repetir proceso pero iterando desde la esquina inferior der.



prb@2007

Imágenes: Gonzalez&Wood

62

## Extracción de Regiones y Etiquetado



```

E=zeros(nf,nc);
for f=1:nf
  for c=2:nc
    if Ab(f,c)==1
      E(f,c)=ETIQUETA;
      ETIQUETA=ETIQUETA+1;
    else
      E(f,c)=0;
    end;
  end;
end;
//luego propagar las etiquetas menores vecinas....
    
```

prb@2007

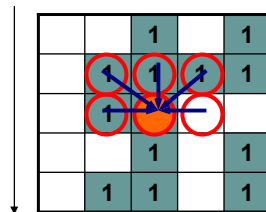
Imágenes: Gonzalez&Wood

63

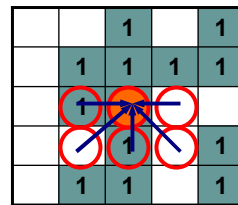
## Extracción de Regiones y Etiquetado



Se entiende por vecindad tipo 6:



Cuando se realiza iteración desde arriba hacia abajo



Cuando se realiza iteración desde abajo hacia arriba

prb@2007

Imágenes: Gonzalez&Wood

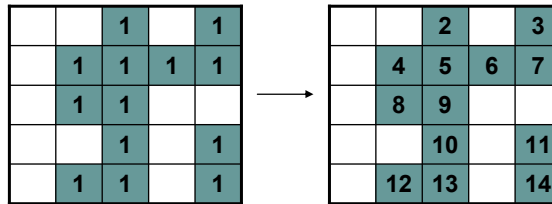
64



## Extracción de Regiones y Etiquetado



Etiquetado inicial.  
Supone que todos los píxel son "regiones" u objetos independientes

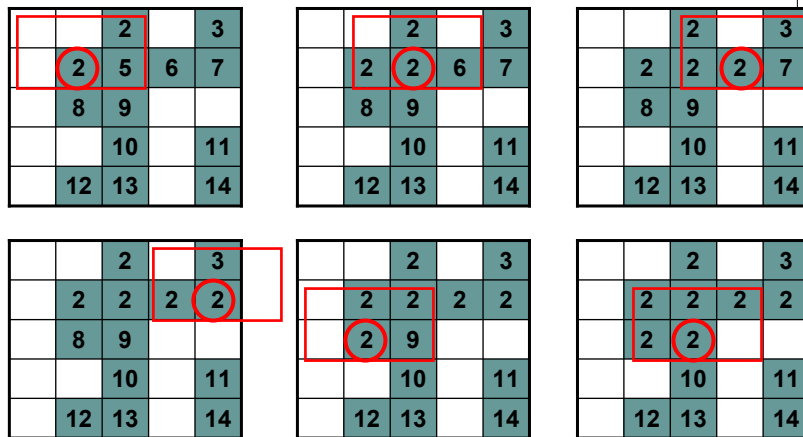


prb@2007

Imágenes: Gonzalez&Wood

65

## Extracción de Regiones y Etiquetado

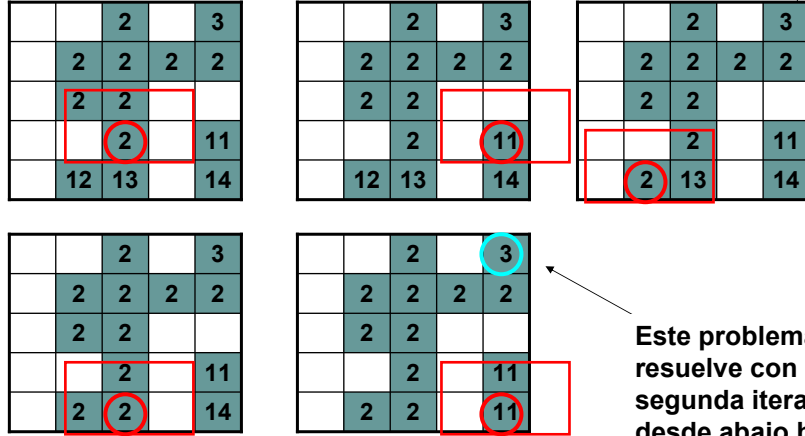


prb@2007

Imágenes: Gonzalez&Wood

66

## Extracción de Regiones y Etiquetado



Este problema se resuelve con la segunda iteración desde abajo hacia arriba

prb@2007

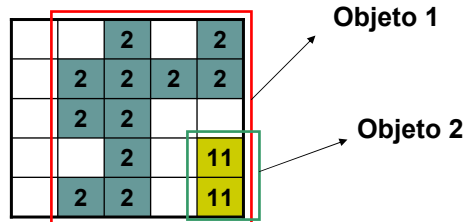
Imágenes: Gonzalez&Wood

67

## Extracción de Regiones y Etiquetado



El proceso de etiquetado abre la posibilidad de trabajar directamente con regiones o sub-imágenes, lo que optimiza notablemente el análisis.



Es importante generar una estructura de datos apropiada para referenciar los "objetos".

prb@2007

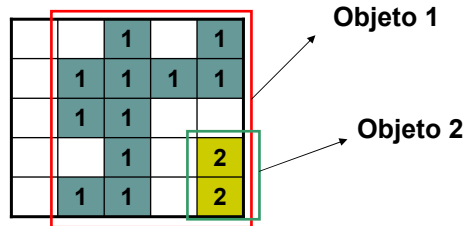
Imágenes: Gonzalez&Wood

68

## Extracción de Regiones y Etiquetado



Un paso opcional es renombrar las etiquetas de los objetos encontrados.



prb@2007

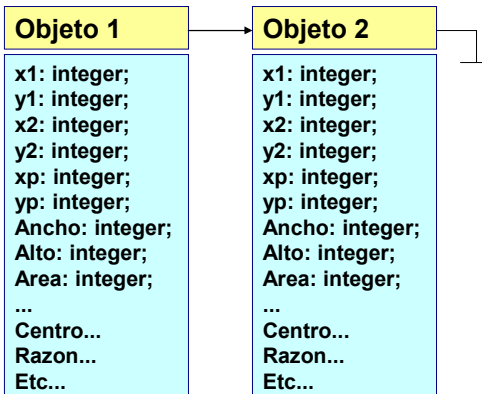
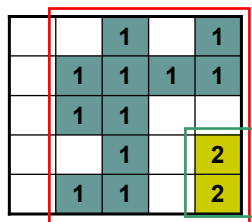
Imágenes: Gonzalez&Wood

69

## Extracción de Regiones y Etiquetado



Es importante generar una estructura de datos apropiada para referenciar los "objetos".



prb@2007

70

## Extracción de Regiones y Etiquetado



Muchas de los análisis básico se realizan sobre la estructura de datos. Estas restricciones se denominan “filtros”

```
Type TRegion=record
  x:integer;
  area:integer;
  ...
end;

var
  D:array of TRegion;
  i,c: integer;

Begin
  c:=0;
  for i:=1 to N do begin
    if (D[i].Area>5) and (D[i].Razon>0.8) then c:=c+1;
    end;
  end;
```

*Ejemplo donde se cuentan los “objetos” con área mayor a 5 píxel y razón de diámetros mayor a 0.8*

prb@2007

Imágenes: Gonzalez&Wood

71